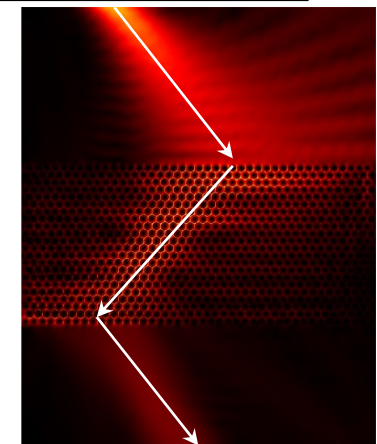
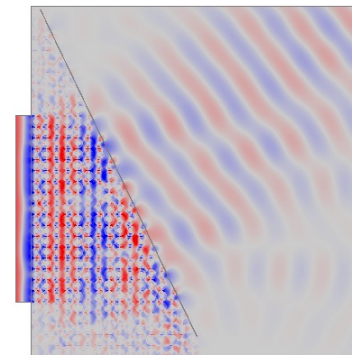
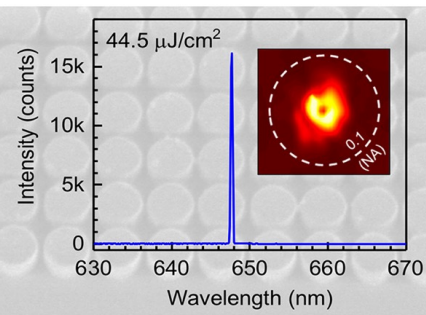
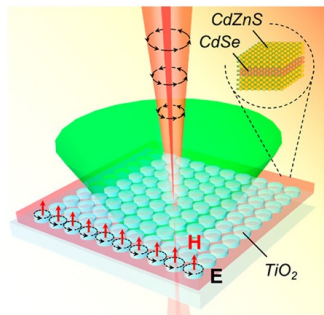


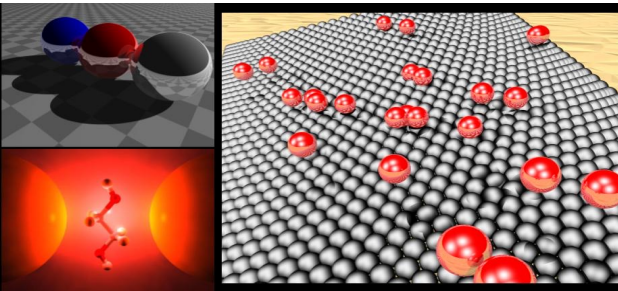
Nanofotónica y Metamateriales en el IEM

José A. Sánchez Gil



Dpto. Espectroscopía Nuclear, Vibracional y de Medios Desordenados

Espectroscopías Ópticas en Nanoestructuras Plasmonicas y Semiconductoras



Permanent Scientific Staff

Sagrario Martínez Ramírez
Santiago Sánchez Cortés
Mª Vega Cañamares Arribas



José Antonio Sánchez Gil
Vincenzo Giannini

→
Teoría

Posdoc:
José L. Pura

Estudiante
doctorado FPI:
Álvaro Buendía



Diego R.
Abujetas



¿Qué es la nanofotónica?

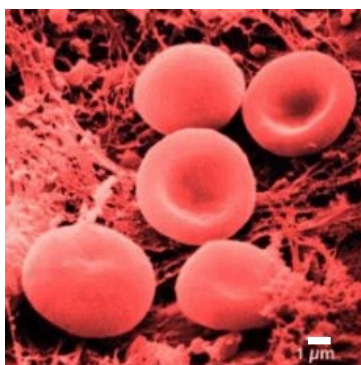
1 m=1.000.000.000 nm

LUZ

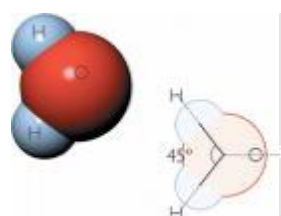
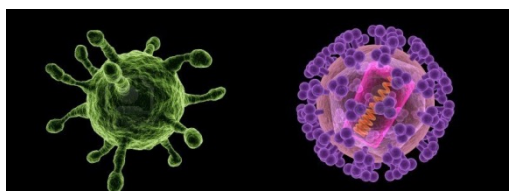
Cabeza de alfiler: ~1 mm =1.000.000 nm



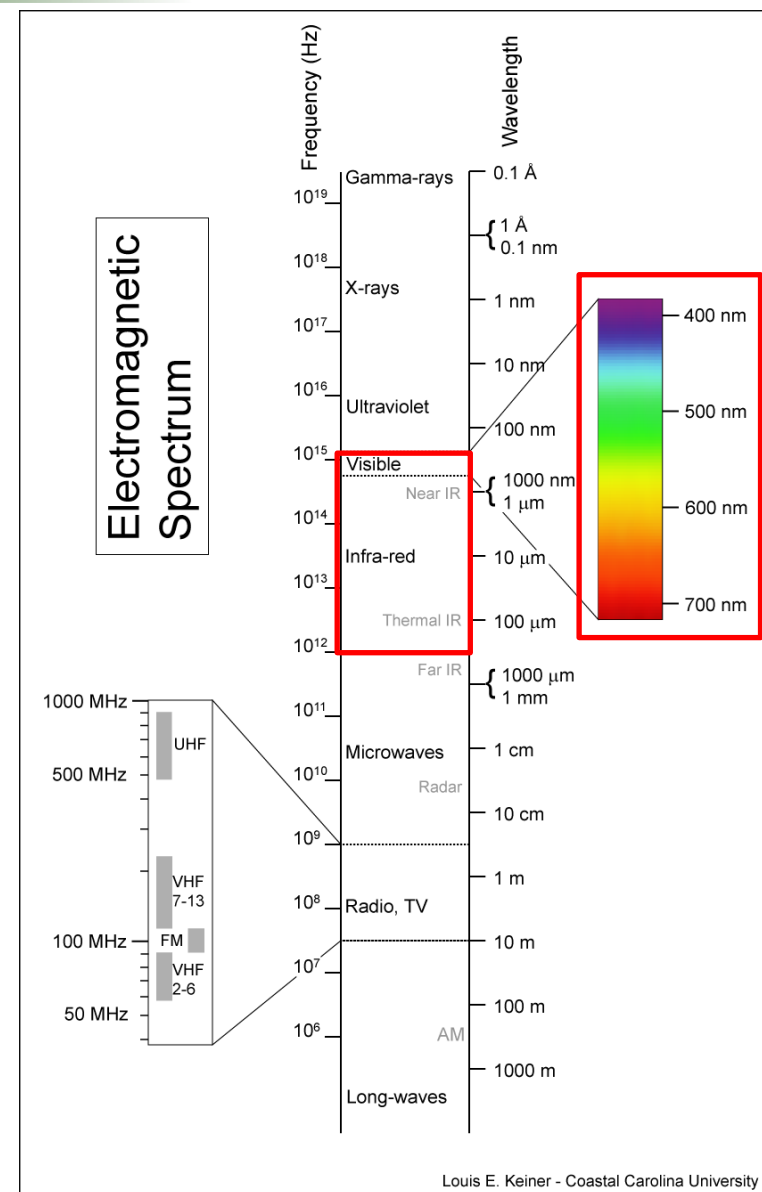
Glóbulo rojo: ~7-8 micras=7000-8000 nm



Virus: 24 – 300 nm



Molécula de agua: ~0.275 nm

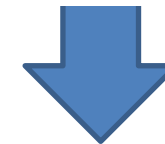
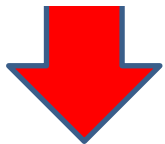


¿Qué es la nanofotónica?

ELECTROMAGNETISMO + MATERIA CONDENSADA:



PROPAGACIÓN, CONFINAMIENTO E INTERACCIÓN **RADIACIÓN-MATERIA**
EN ESCALAS POR DEBAJO DE LA LONG. DE ONDA (λ)



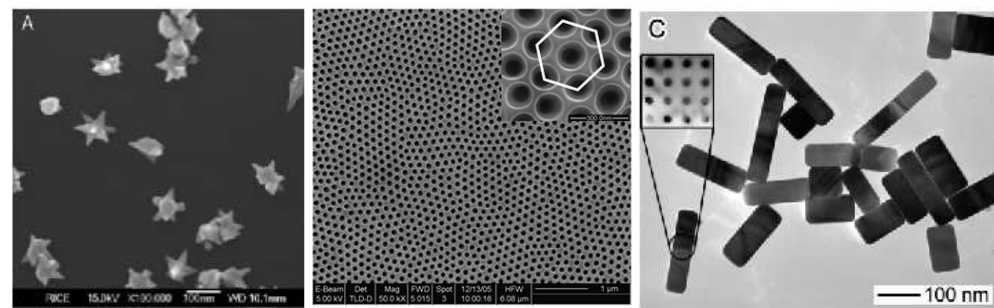
$$\nabla \cdot \mathbf{B} = 0$$

$$\nabla \cdot \mathbf{D} = \rho$$

$$\nabla \times \mathbf{H} = \mathbf{J} + \frac{\partial \mathbf{D}}{\partial t}$$

$$\nabla \times \mathbf{E} = -\frac{\partial \mathbf{B}}{\partial t}$$

- Medio continuo
- Propiedades Macroscópicas
- Ecs. Constitutivas para \mathbf{D} y \mathbf{B}



ENTONCES... ¿QUÉ HACEMOS NOSOTROS, EXACTAMENTE?

- Estudiamos cómo se comporta la luz al interactuar con un objeto (nanométrico)
- Estudiamos qué diseño es el mas adecuado para un propósito concreto.

y... ¿CÓMO LO HACEMOS?

- ¡Es muy sencillo!

escribimos las ecuaciones que describen la física del sistema y, generalmente:

- **Modelos analíticos**
- **Cálculos numéricos: métodos caseros y/o software comercial**

Fenomenología de interés en Nanofotónica

- Metasuperficies & Metamateriales
- Luz Magnética en dieléctricos de alto índice
- Fotónica Topológica → Vincenzo
- Plasmones Superficiales Localizados → todo Grupo
- Nanohilos semiconductores: Fotoluminiscencia y absorción

METALES EN EL VISIBLE

Teoría de Drude para metales: el modelo de electrones libres

$$\mathbf{D}(\mathbf{r}, \omega) = \epsilon(\omega) \mathbf{E}(\mathbf{r}, \omega), \epsilon(\omega) = 1 - \frac{\omega_p^2}{\omega(\omega + i\gamma)}$$

$\omega_p \equiv$ frecuencia de plasma

Si :

$\omega < \omega_p$, material opaco

$\omega > \omega_p$, material transparente

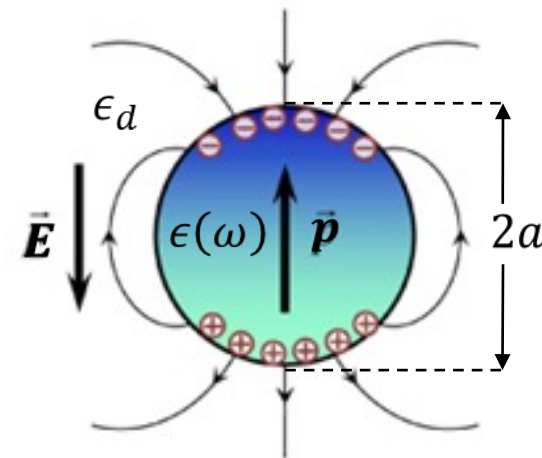
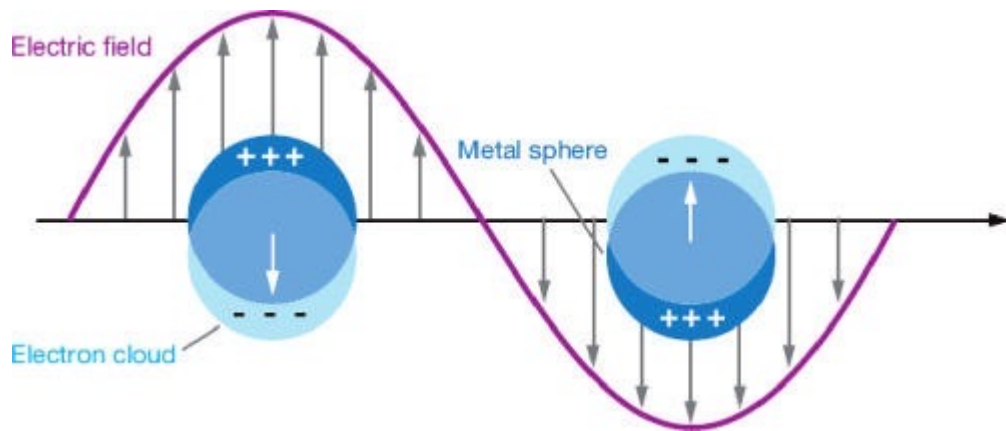
$\omega = \omega_p$, oscilaciones densidad de carga

¡SOLUCIONES CONFINADAS EN LA FRONTERA METAL-DIELÉCTRICO!

PLASMONES SUPERFICIALES

PLASMONES SUPERFICIALES LOCALIZADOS

(LOCALIZED SURFACE PLASMON RESONANCES)



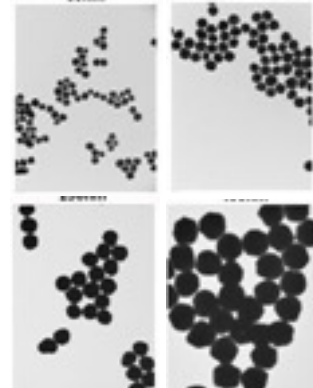
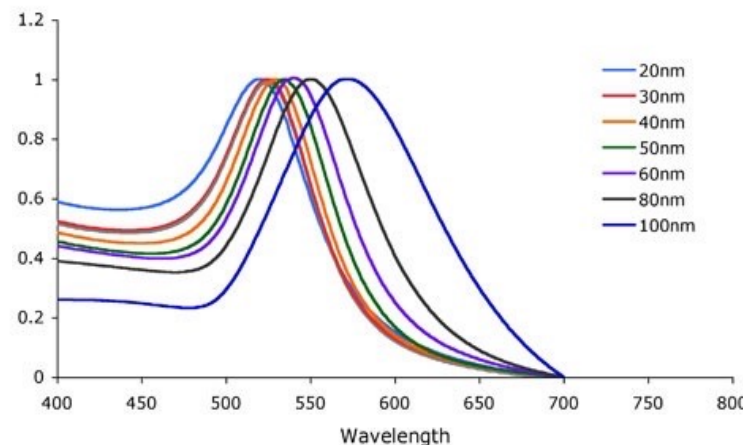
ELECTROSTÁTICA

$$p \propto \alpha_E E, \quad \alpha_E = a^3 \frac{\epsilon(\omega) - \epsilon_d}{\epsilon(\omega) + 2\epsilon_d}$$

$$\omega_{res} \rightarrow \epsilon(\omega_{res}) = -2\epsilon_d$$

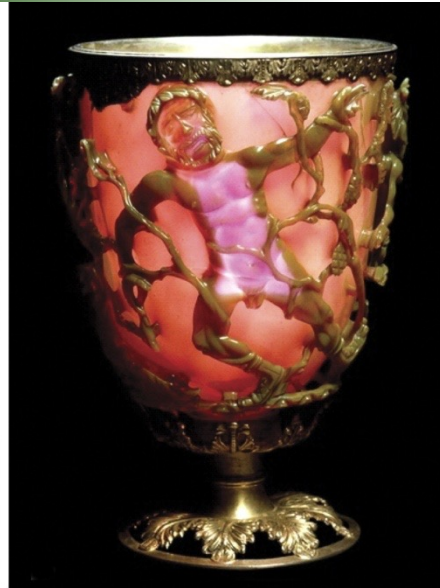
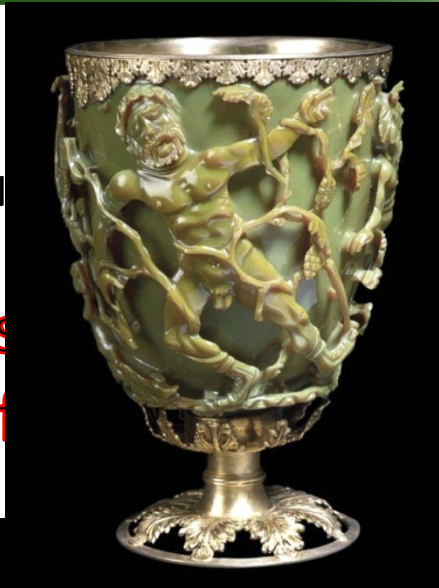
$$\omega_{res} = \frac{\omega_p}{\sqrt{3}}$$

TEORÍA DE G. MIE (1908)

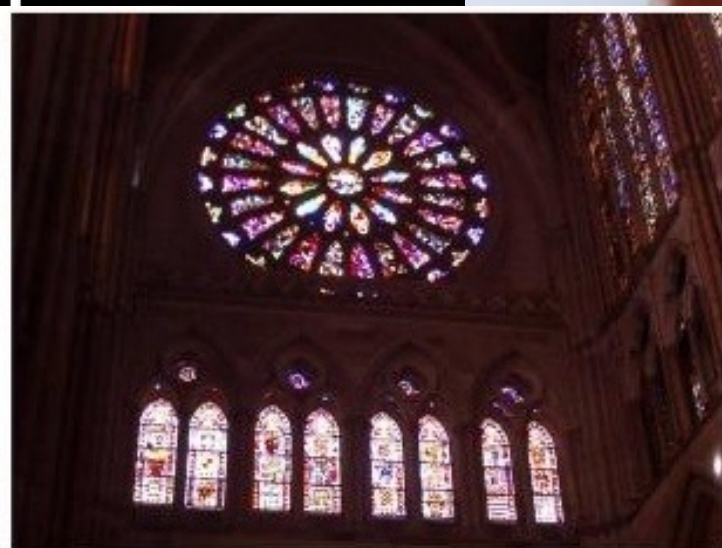
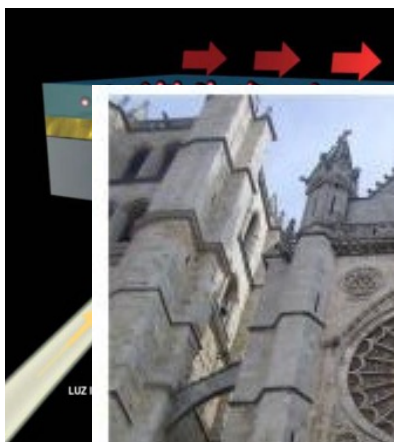


SURFACE PLASMON

Sensores
índice de ref.



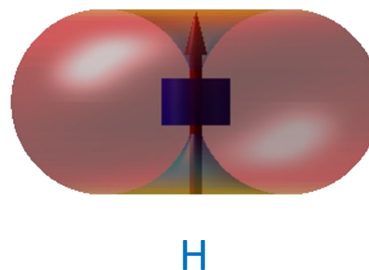
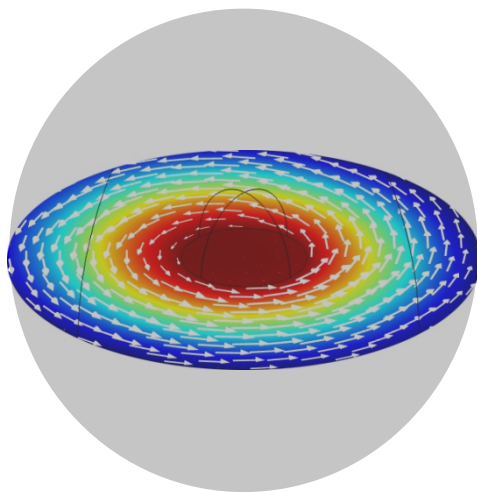
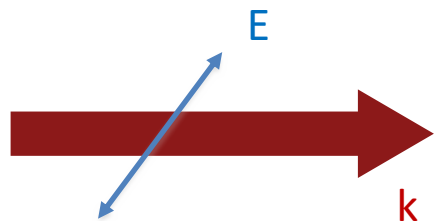
SURFACE PLASMONS
en embarazo



DIELÉCTRICOS DE ALTO ÍNDICE EN TODO EL ESPECTRO, INCLUSO EL VISIBLE (con semiconductores)

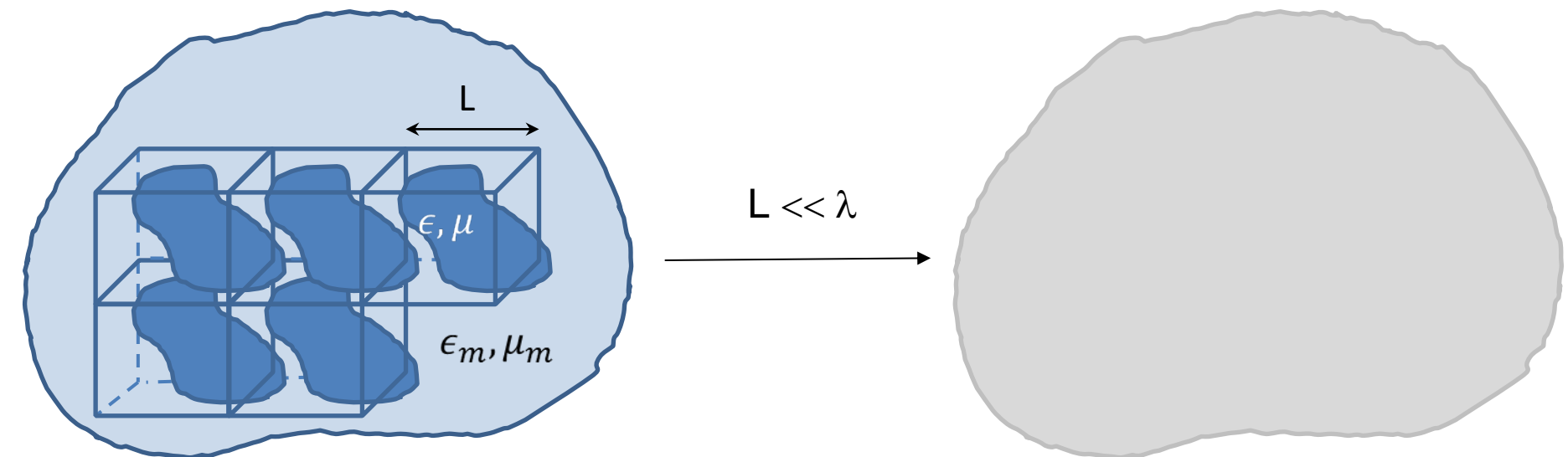
Teoría de Mie para esferas/cilindros: **RESONANCIAS MIE**

Orden mas bajo:
resonancia dipolar
magnética!!



→ LUZ MAGNÉTICA!!

¿Qué son los **metamateriales**?



$$\mathbf{D}(\mathbf{r}) = \epsilon_0 \epsilon(\omega) \mathbf{E}(\mathbf{r}), \\ \mathbf{B}(\mathbf{r}) = \mu_0 \mu(\omega) \mathbf{H}(\mathbf{r})$$

$$\langle \mathbf{D}(\mathbf{r}) \rangle = \epsilon_0 \epsilon_{eff}(\omega) \langle \mathbf{E}(\mathbf{r}) \rangle, \\ \langle \mathbf{B}(\mathbf{r}) \rangle = \mu_0 \mu_{eff}(\omega) \langle \mathbf{H}(\mathbf{r}) \rangle$$

$\epsilon_{eff}, \mu_{eff} \leftrightarrow \epsilon_m, \mu_m, \epsilon, \mu?$

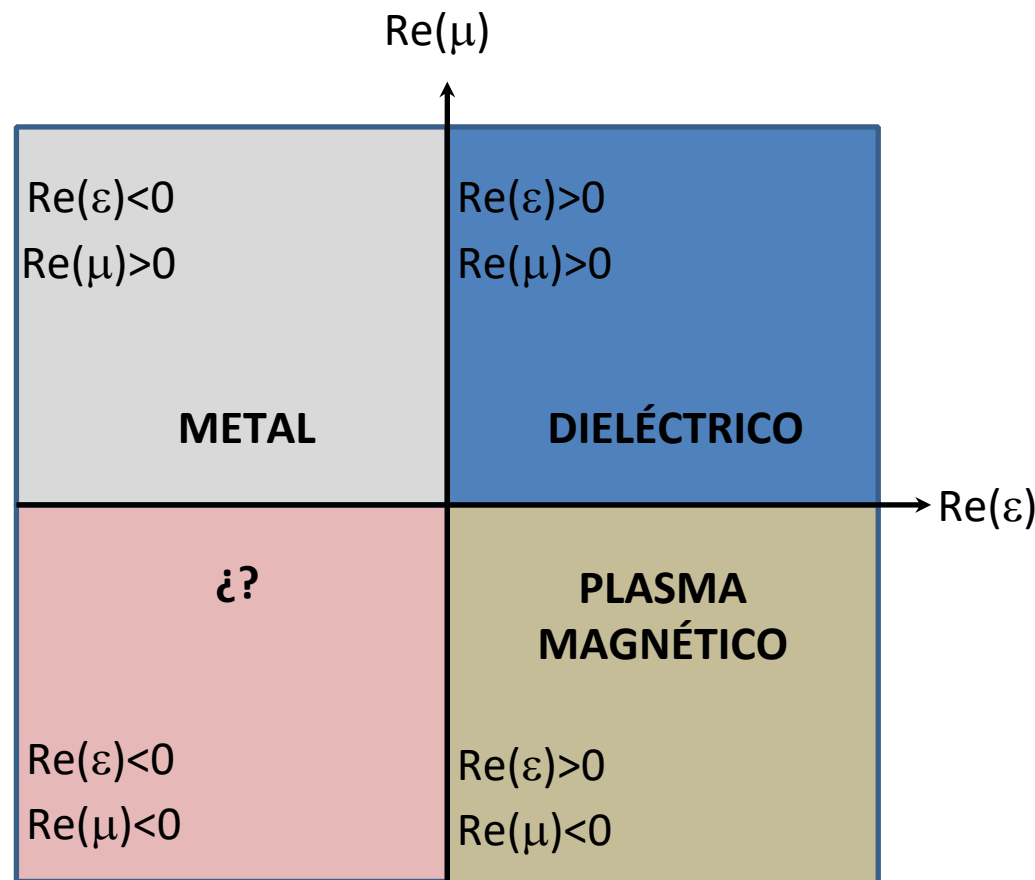
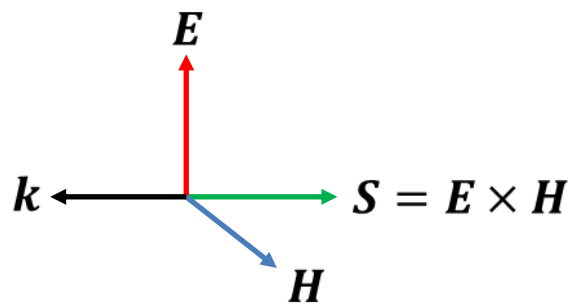
“Jugando con las piezas” podemos obtener...

...cualquier valor de $\text{Re}(\epsilon_{eff})$ y de $\text{Re}(\mu_{eff})$!!!

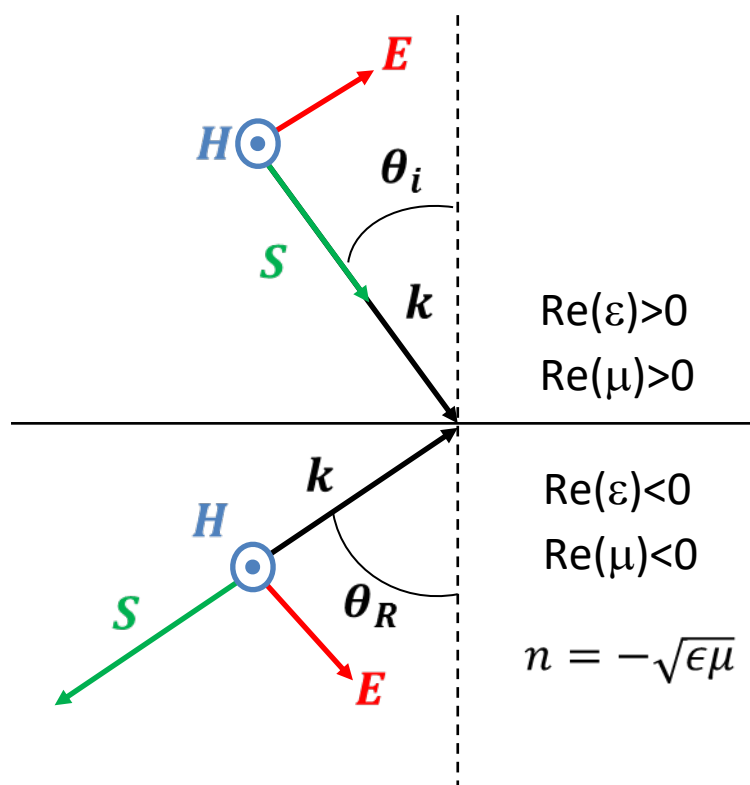
Metamateriales “zurdos”

$$\mathbf{k} \times \mathbf{E} = \omega \mu \mu_0 \mathbf{H}$$

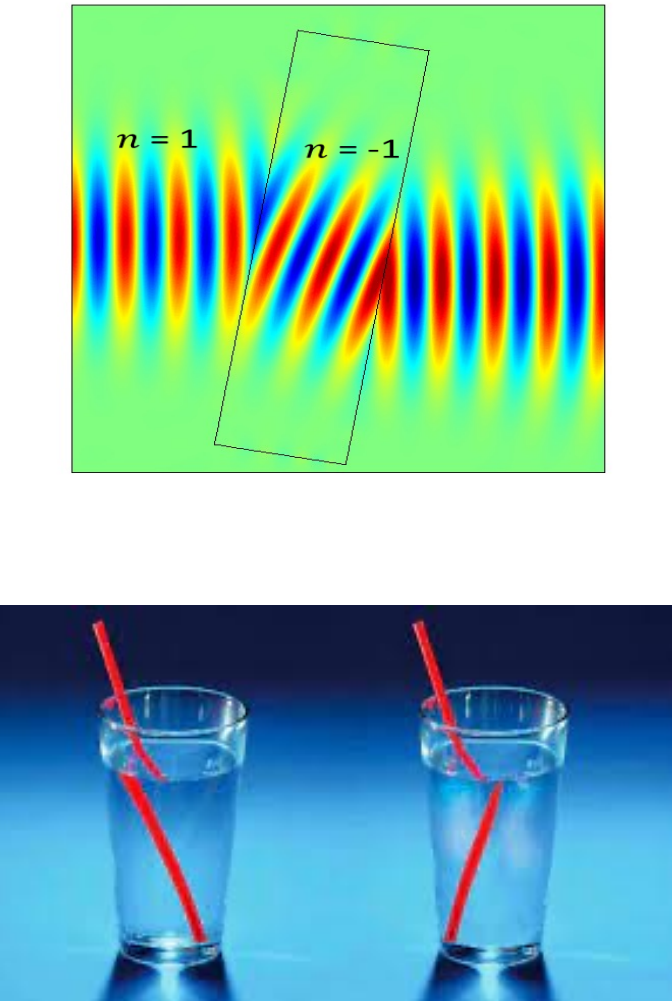
$$\mathbf{k} \times \mathbf{H} = -\omega \epsilon \epsilon_0 \mathbf{E}$$

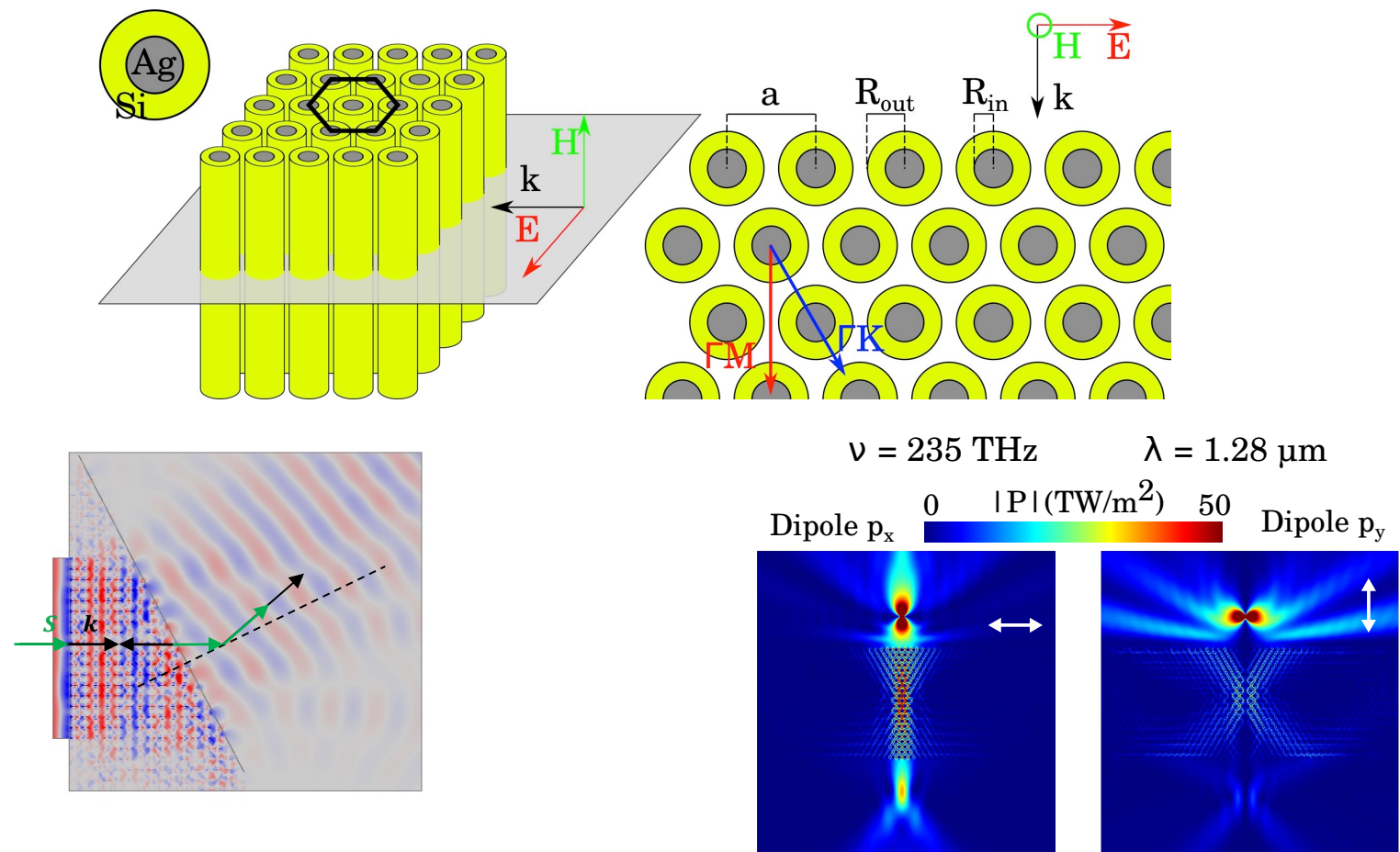


Refracción negativa



$$n_i \sin \theta_i = n_R \sin \theta_R$$





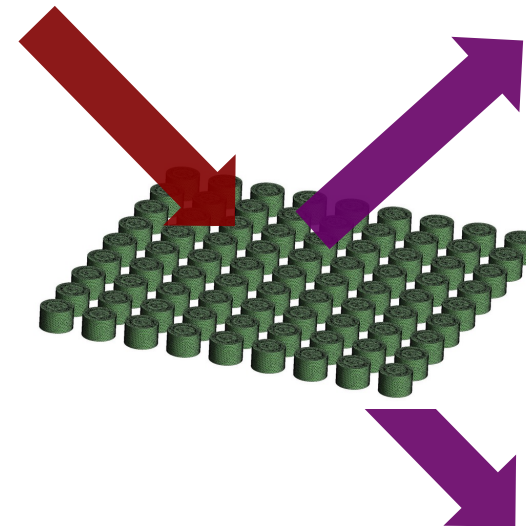
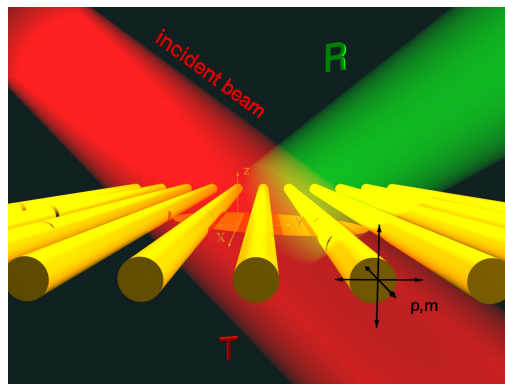
Negative Refraction

R. Paniagua-Domínguez et al., *New. J. Phys.* (2011)
, *Sci. Reports* (2013)

Flat lensing

Abujetas et al., *J. Opt.* (2015)

Non-diffractive regime imposes
that there are only 2 (specular)
outgoing channels



Exotic optical properties
in (very thin) planar arrays!!

*"a wave state with the frequency inside the continuous spectrum can only be a 'resonance' that leaks and radiates out to infinity. A **bound state in the continuum** (BIC) is an exception to this conventional wisdom: it lies inside the continuum and coexists with extended waves, but it remains perfectly confined without any radiation."*

Hsu, Zhen, Stone,
Joannopoulos, Soljačić, Nat.
Rev. Mater. 1, 16048 (2016).

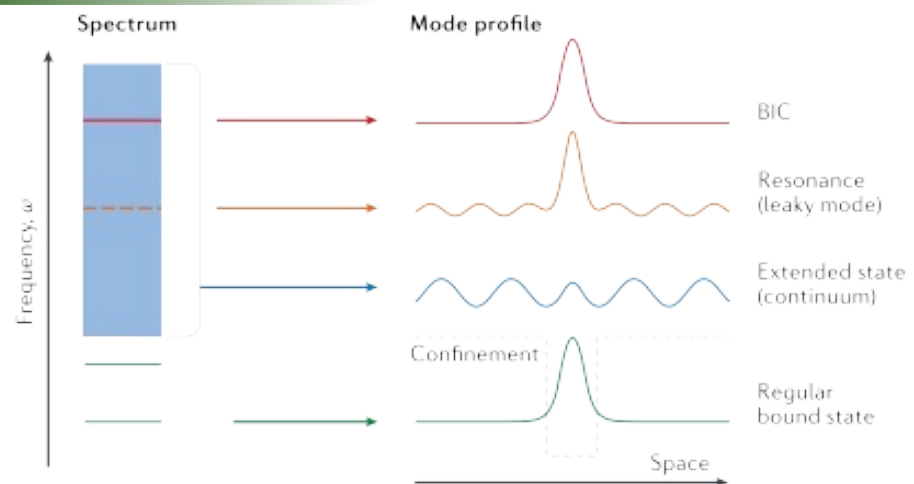
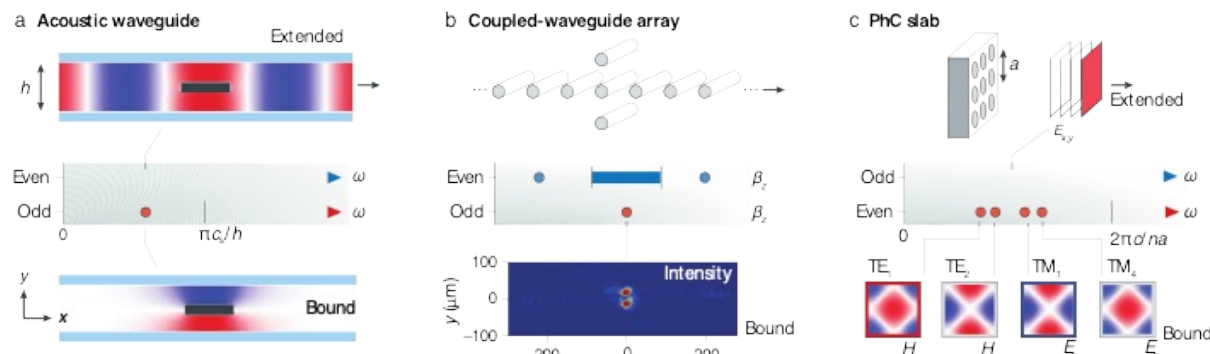
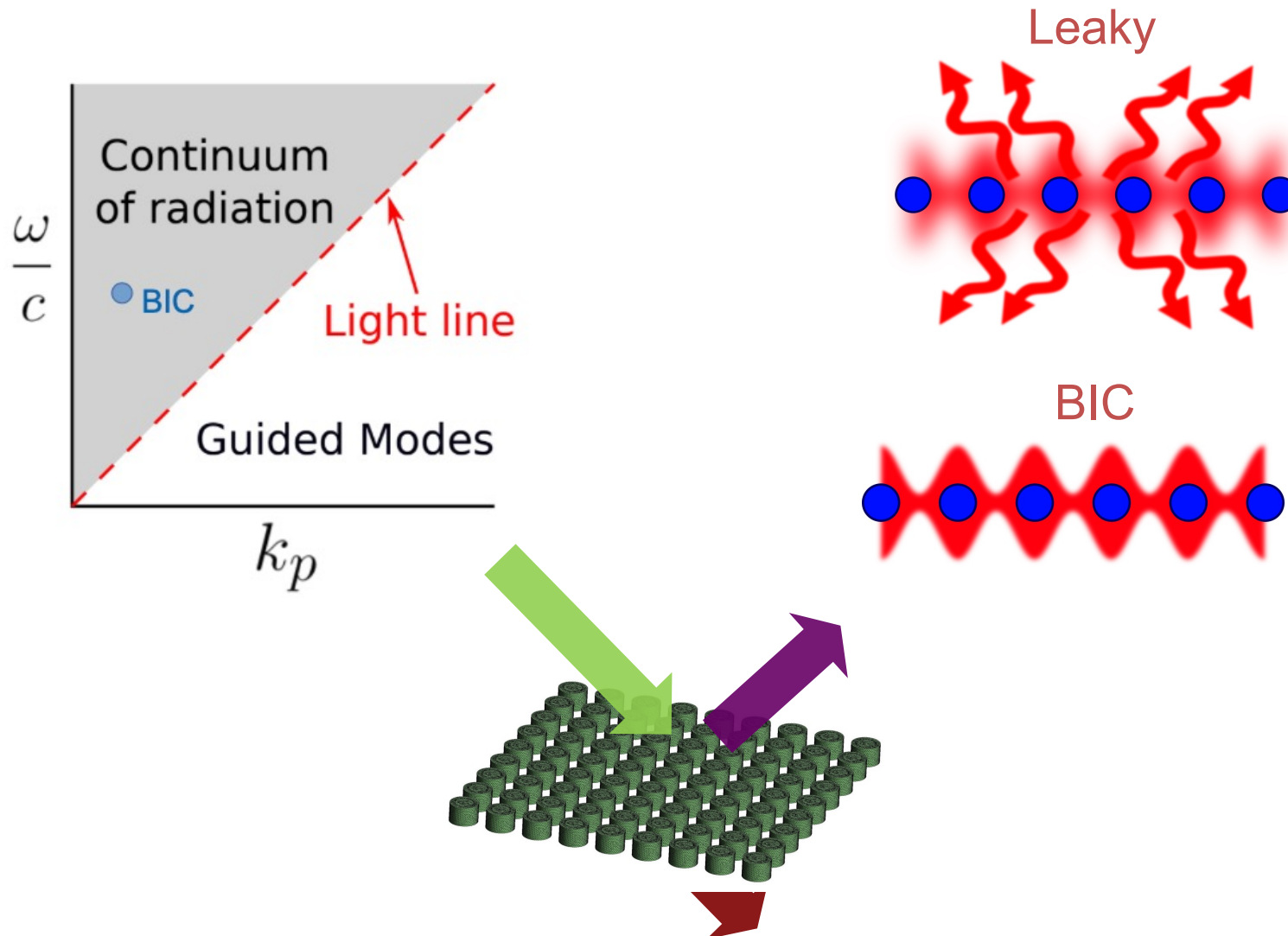


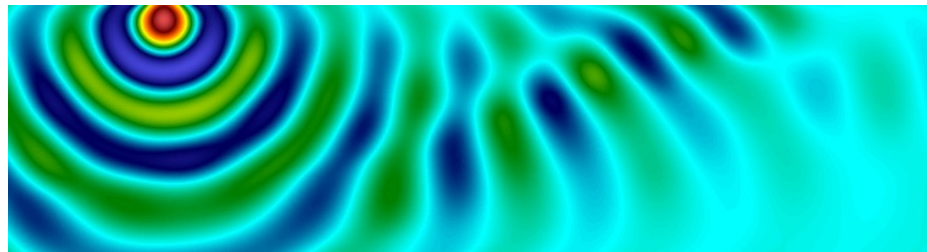
Figure 1 | Illustration of a BIC. In an open system, the frequency spectrum consists of a continuum or several continua of spatially extended states (blue) and discrete levels of bound states (green) that carry no outgoing flux. The spatial localization of the bound states is a consequence of a confining structure or potential (black dashed line). States inside the continuous spectrum typically couple to the extended waves and radiate, becoming leaky resonances (orange). Bound states in the continuum (BICs; red) are special states that lie inside the continuum but remain localized with no radiation.

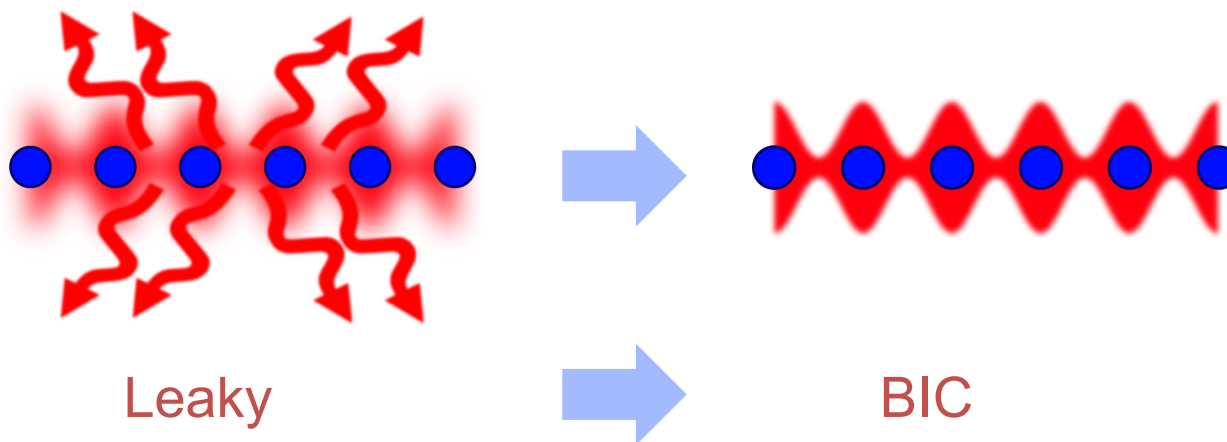
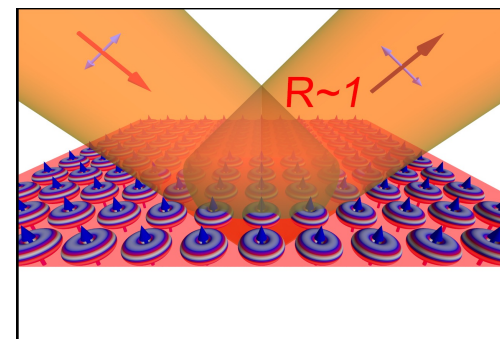
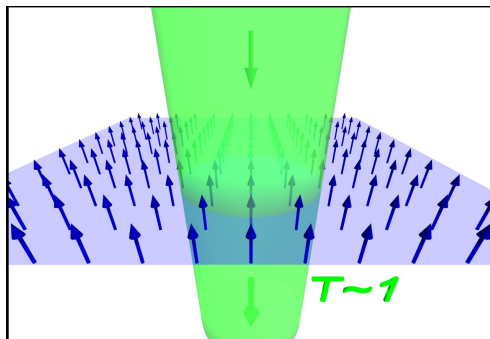
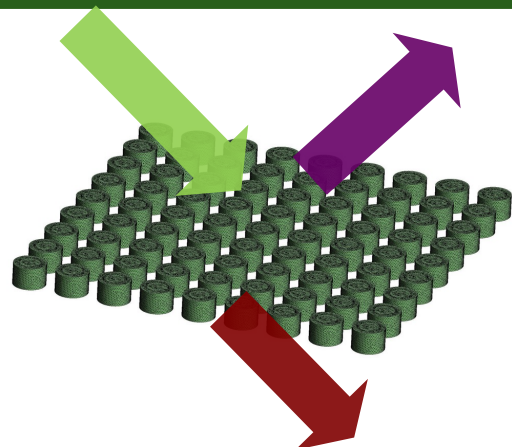
Mechanisms: symmetry, parameter tuning,...





What cancels outcoupling??

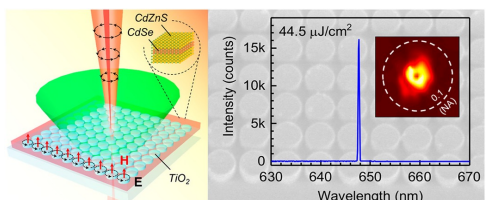
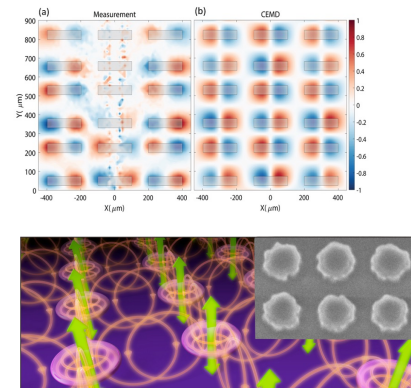
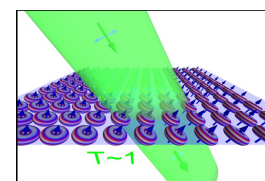
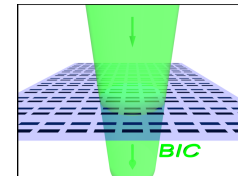
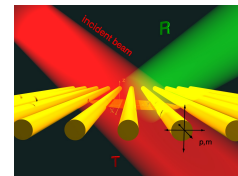




Symmetry-protected
Bound states in the continuum

Bound states in the continuum in resonant-structure metasurfaces

- Coupled electric-magnetic dipole theory for planar arrays: **Brewster, Fano, BICs...**
- Dimer metasurfaces (THz & visible): **detuned-dipole BICs**
- HRI Disk metasurface (GHz & visible): **MD-BICs & Brewster quasi BICs**
- Apps: **BIC-mediated EIT, Lasing & MO switching**



NANO LETTERS

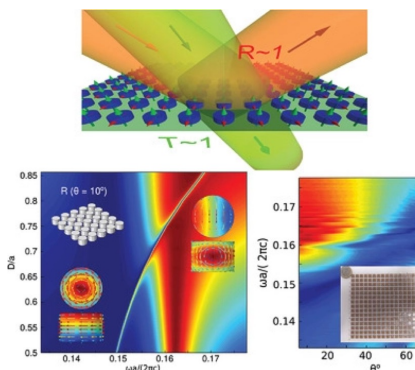
pubs.acs.org/NanoLett

Room-Temperature Lasing in Colloidal Nanoplatelets via Mie-Resonant Bound States in the Continuum

Mengfei Wu,¹ Son Tung Ha,¹ Sushant Shendre, Emek G. Durmusoglu, Weon-Kyu Koh, Diego R. Abuajetás, José A. Sánchez-Gil, Ramón Panagua-Domínguez, Hilmi Volkan Demir, and Arseniy I. Kuznetsov^{2*}

Cite This: *Nano Lett.* 2020, 20, 6005–6011

Read Online



ORIGINAL PAPER

High-Q Transparency Band in All-Dielectric Metasurfaces Induced by a Quasi Bound State in the Continuum

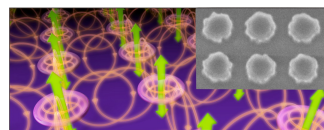
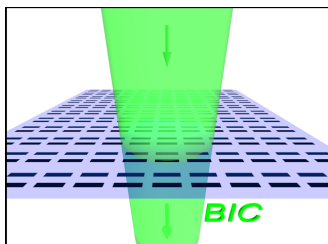
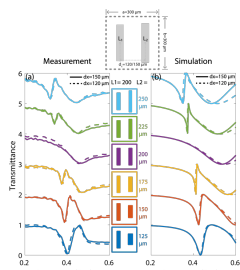
Diego R. Abuajetás,* Ángela Barreda, Fernando Moreno, Amelie Litman, Jean-Michel Geffrin, and José A. Sánchez-Gil*

Collaborators

Niels van Hoof, Stan ter Huurne,

J. Gómez Rivas

Technical University Eindhoven

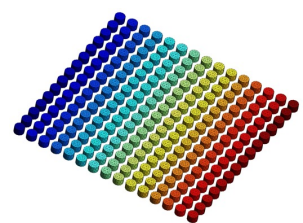


Shunsuke
Murai
Kyoto University



R. Paniagua, Arseniy Kuznetsov

IMRE, A*Star, Singapore



Institute of
Materials Research
and Engineering
IMRE

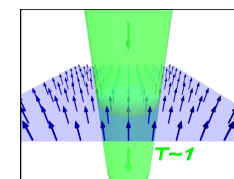
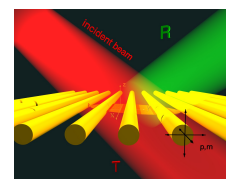


CSIC
CONSEJO SUPERIOR DE INVESTIGACIONES CIENTÍFICAS

Nuno de Sousa
Jorge Olmos



Donostia International Physics Center



UNIVERSIDAD
DE CANTABRIA

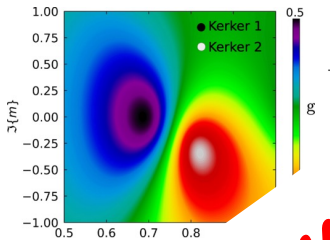
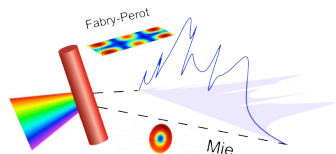


Fernando Moreno
(Dpto. Óptica-UC)

Resonant HRI Nanostructures & Metasurfaces



High-Contrast Fano Resonances in Single Semiconductor Nanorods
Diego R. Abujetas,[†] Miguel A. G. Mandujano,[‡] Eugenio R. Méndez,[‡] and José A. Sánchez-Gil^{†,§}

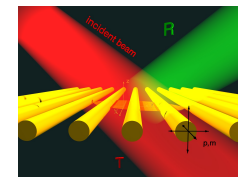


Research Article
Vol. 26, No. 24 | 26 Nov 2018 | OPTICS EXPRESS 31523
Optics EXPRESS

Generalized Brewster effect in high-refractive-index nanorod-based metasurfaces

Diego Romero Abujetas,^{1,2,*} Sánchez-Gil,¹ and Juan José Saenz^{2,3}

V LETTERS 125, 073205 (2020)



upon Lossless, Absorption, and Optical Gain Regimes

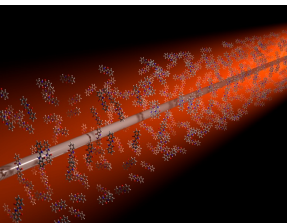
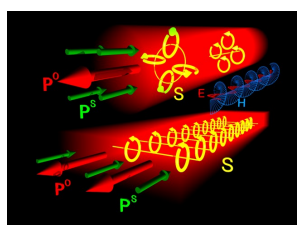
Silvana Sanz-Fernández,² Diego R. Abujetas,^{1,3} Jon Lasa-Alonso,^{1,2} Nuno de Sousa,¹ Xarri,^{1,2} José A. Sánchez-Gil,³ Gabriel Molina-Terriza,^{1,2,4} and Juan José Sáenz^{1,4}



pubs.acs.org/journal/apchd5

Spin Angular Momentum of Guided Light Induced by Transverse Confinement and Intrinsic Helicity

Diego R. Abujetas* and José A. Sánchez-Gil



PHYSICAL REVIEW B 99, 205409 (2019)

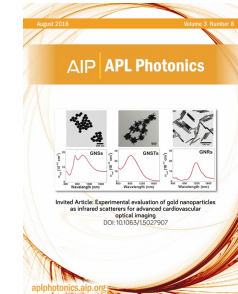
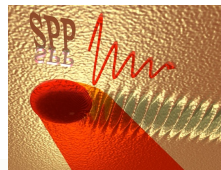
Strong coupling between weakly guided semiconductor nanowire modes and an organic dye
Diego R. Abujetas,¹ Johannes Frisch,¹ Francisco J. García-Vidal,¹ Jaime Gómez-Rivas,¹ and José A. Sánchez-Gil¹



Article
https://pubs.acs.org/journal/acsomeg

Surface Plasmon Polaritons on Rough Metal Surfaces: Role in the Formation of Laser-Induced Periodic Surface Structures

Yasser Fuentes-Edifit,¹ José A. Sánchez-Gil,^{2,3} Camilo Florian,¹ Vincenzo Giannini,¹ Javier Solís,¹ and Jan Siegel^{1,4}



**Plasmonics:
LIPSS & Au NPs**

Para más información: José A. Sánchez Gil.
j.sanchez@csic.es Despacho 224, 2^a, Ext. 442367

Help wanted!!